量子系の実時間発展における Lefschetz thimble法の応用

物性研研究会「熱場の量子論とその応用」 2025年9月5日(金)、東京大学物性研

西村 淳 (KEK、総研大)

関連文献

[1] J.N., Katsuta Sakai, Atis Yosprakob, "A new picture of quantum tunneling in the real-time path integral from Lefschetz thimble calculations" JHEP 09 (2023) 110, e-Print: 2307.11199 [hep-th]

[2] J.N., Hiromasa Watanabe, "Quantum decoherence from complex saddle points" Phys.Rev.Lett. 134 (2025) 21, 210401, e-Print: 2408.16627 [quant-ph],

[3] J.N., Hiromasa Watanabe, "Quantum decoherence in the Caldeira-Leggett model by the real-time path integral on a computer" e-Print: 2503.20699[hep-lat], to appear in JHEP

0. はじめに

量子時間発展を記述する2つの言葉

1) シュレディンガー方程式



1) シュレティンガー方程式
$$i\hbar \frac{\partial}{\partial t} \Psi = \widehat{H} \Psi$$
 ハミルトニアン



2) ファインマン経路積分

$$\Psi(x_{\mathsf{f}}, t_{\mathsf{f}}) = \int \mathcal{D}x(t)\Psi(x(t_{\mathsf{i}}), t_{\mathsf{i}}) e^{iS[x(t)]}$$

$$S = \int \mathcal{D}dt$$
ラグランジアン



優れている点:

- 自由度の大きな系 (場の理論を含む)への適用が可能
- 量子重力 (一般座標不変性) や行列模型 (非摂動的弦理論)への拡張が可能
- 数値シミュレーションという強力な手法が適用できる可能性あり

実時間経路積分に関する最近の発展

▶量子力学:

$$\Psi(x_{\mathsf{f}}, t_{\mathsf{f}}) = \int_{x(t_{\mathsf{f}})} \mathcal{D}x(t) \Psi(x(t_{\mathsf{j}}), t_{\mathsf{j}}) e^{iS[x(t)]/\hbar}$$

▶量子重力 ("時間"が力学的自由度の一部)

$$\Psi[h] = \int \mathcal{D}g_{\mu\nu} e^{iS[g]/\hbar}$$

➤ IKKT 行列模型 超弦理論の非摂動的定式化

("時間"という概念の創発)

$$Z = \int dA_{\mu} e^{iS[A]}$$

位相が回る (振動積分)

概念的な問題: このような振動積分をどのように定義したらいいのか?

▶ ピカール・レフシェッツ理論

技術的な問題:シミュレーションにおける符号問題をどう解決するか?

🔷 レフシェッツ・シンブル法

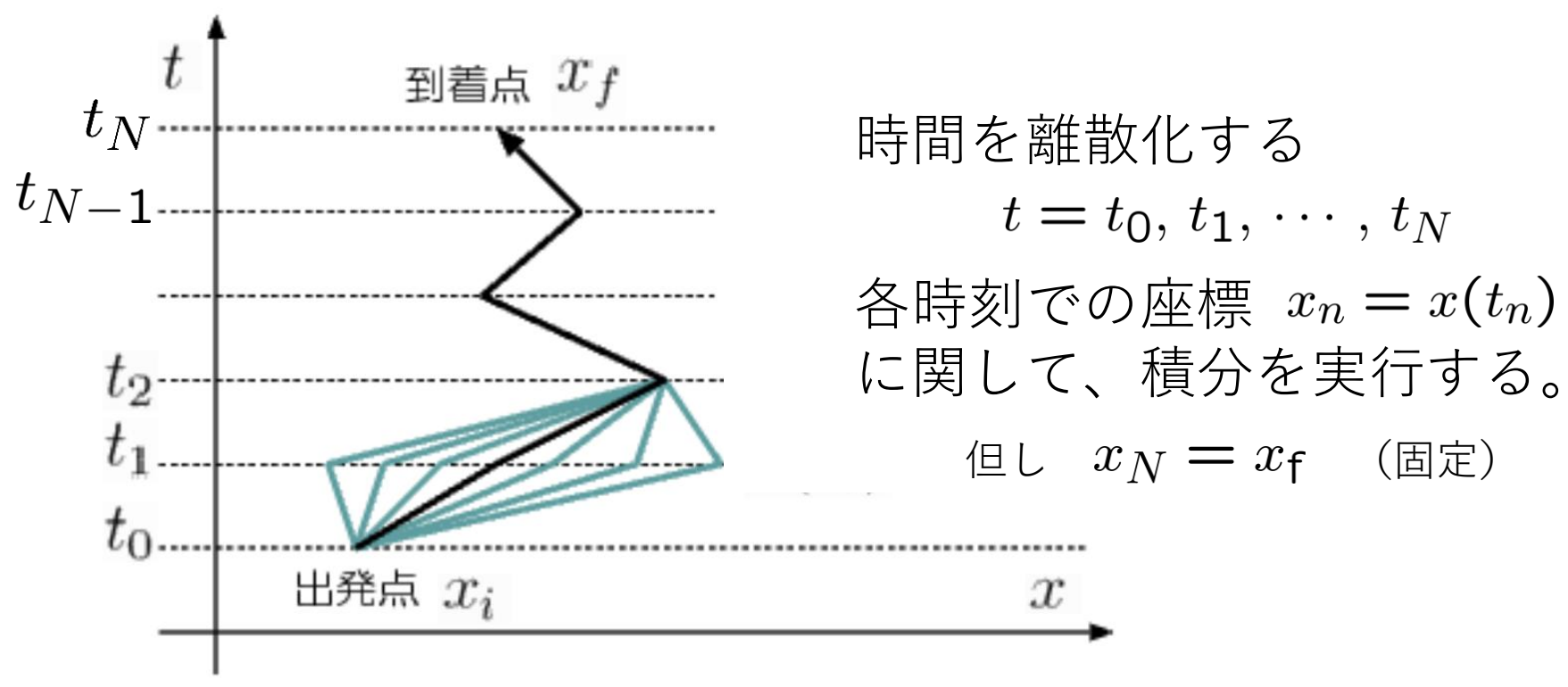
目次

- 0. はじめに
- 1. 実時間経路積分の数値シミュレーション
- 2. 量子トンネル効果
- 3. 量子デコヒーレンス効果
- 4. まとめと展望

1. 実時間経路積分の数値シミュレーション

実時間経路積分

$$\Psi(x_{\mathsf{f}}, t_{\mathsf{f}}) = \int \mathcal{D}x(t) \Psi(x(t_{\mathsf{i}}), t_{\mathsf{i}}) e^{iS[x(t)]/\hbar}$$



$$\Psi(x_N, t_N) = \int dx_0 dx_1 \cdots dx_{N-1} \Psi(x_0, t_0) e^{iS[x_0, x_1, \cdots, x_{N-1}]/\hbar}$$

このような多重積分をどう定義し、数値的に計算するか?

符号問題

波動関数の実時間発展:

$$\Psi(x_{\mathsf{f}}, t_{\mathsf{f}}) = \int \mathcal{D}x(t) \Psi(x(t_{\mathsf{i}}), t_{\mathsf{i}}) e^{iS[x(t)]}$$

正定値でないので、確率分布と見なすことができない

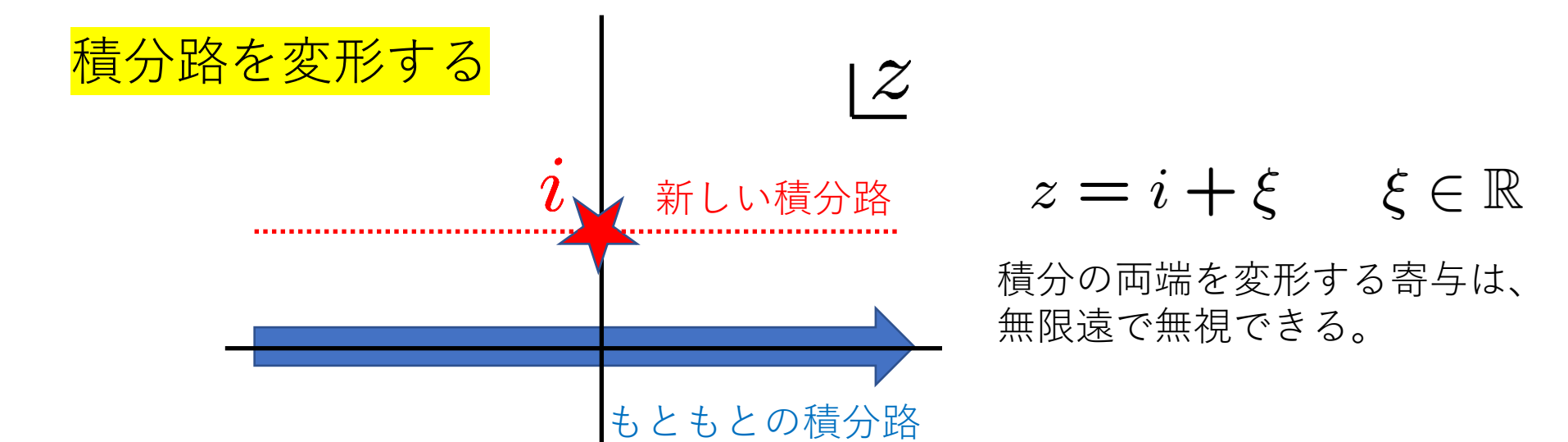
Х

(簡単な例)

そうだ! コーシーの定理を使おう!

$$Z = \int_{-\infty}^{\infty} dx \, e^{-\frac{1}{2}\beta(x-i)^2}$$

複素積分 $Z = \int dz \, e^{-\frac{1}{2}\beta(z-i)^2}$ を実軸に沿って行うことに相当。



$$Z = \int_{-\infty}^{\infty} d\xi e^{-\frac{1}{2}\beta\xi^2}$$



符号問題は解決!

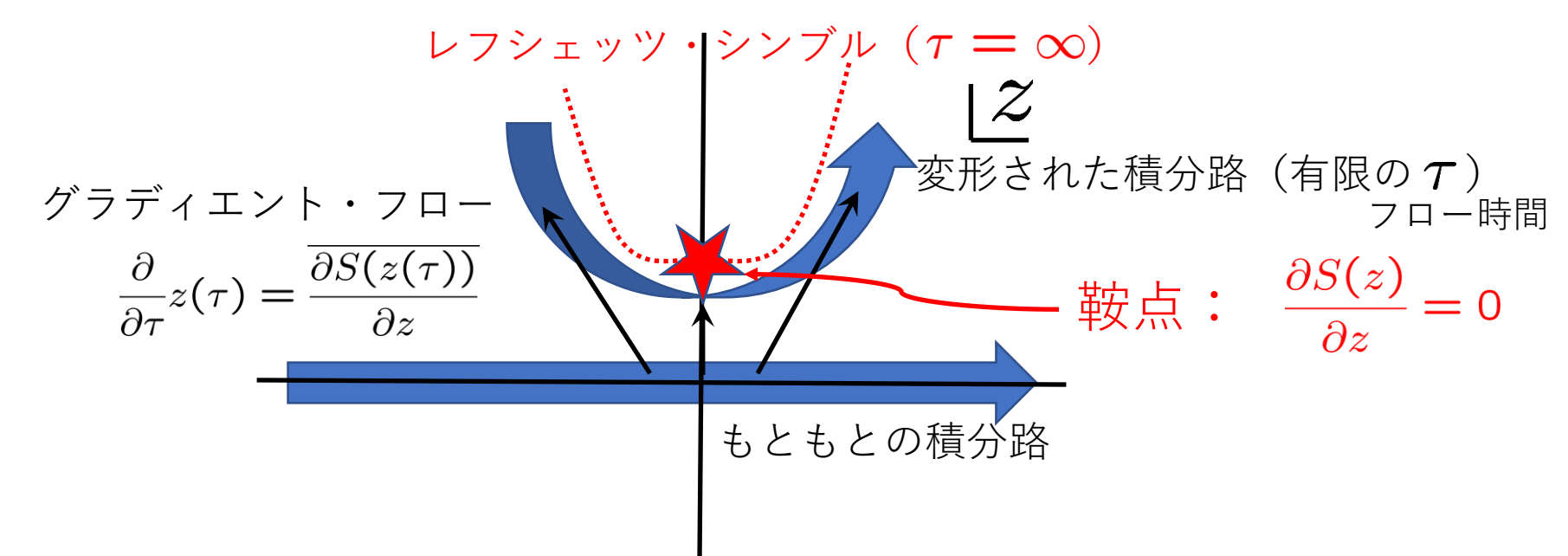
でも、複雑な多重積分になったら、こんなことできるの?



レフシェッツ・シンブル法

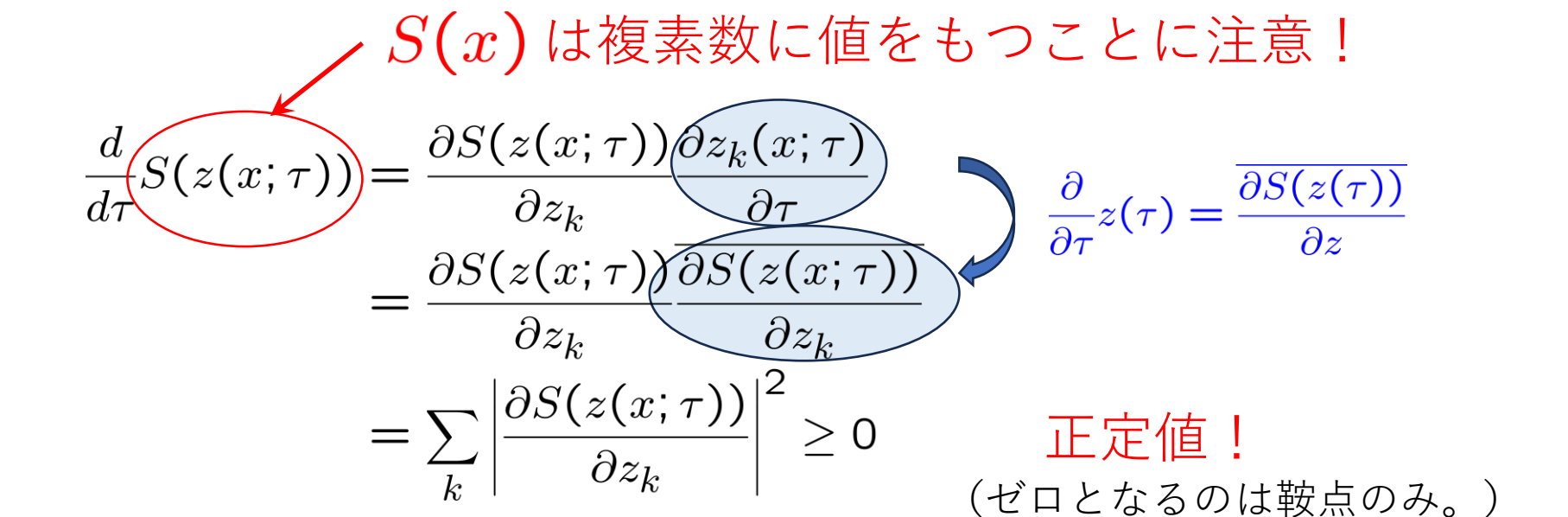
A.Alexandru, G.Basar, P.F.Bedaque, G.W.Ridgway and N.C.Warrington, JHEP 1605 (2016) 053

$$Z = \int dz \, e^{-S(z)}$$



x から z(x; au) への1対1の写像が得られる。au 積分路の変形を定義 (コーシーの定理)

グラディエント・フローのもつ重要な性質

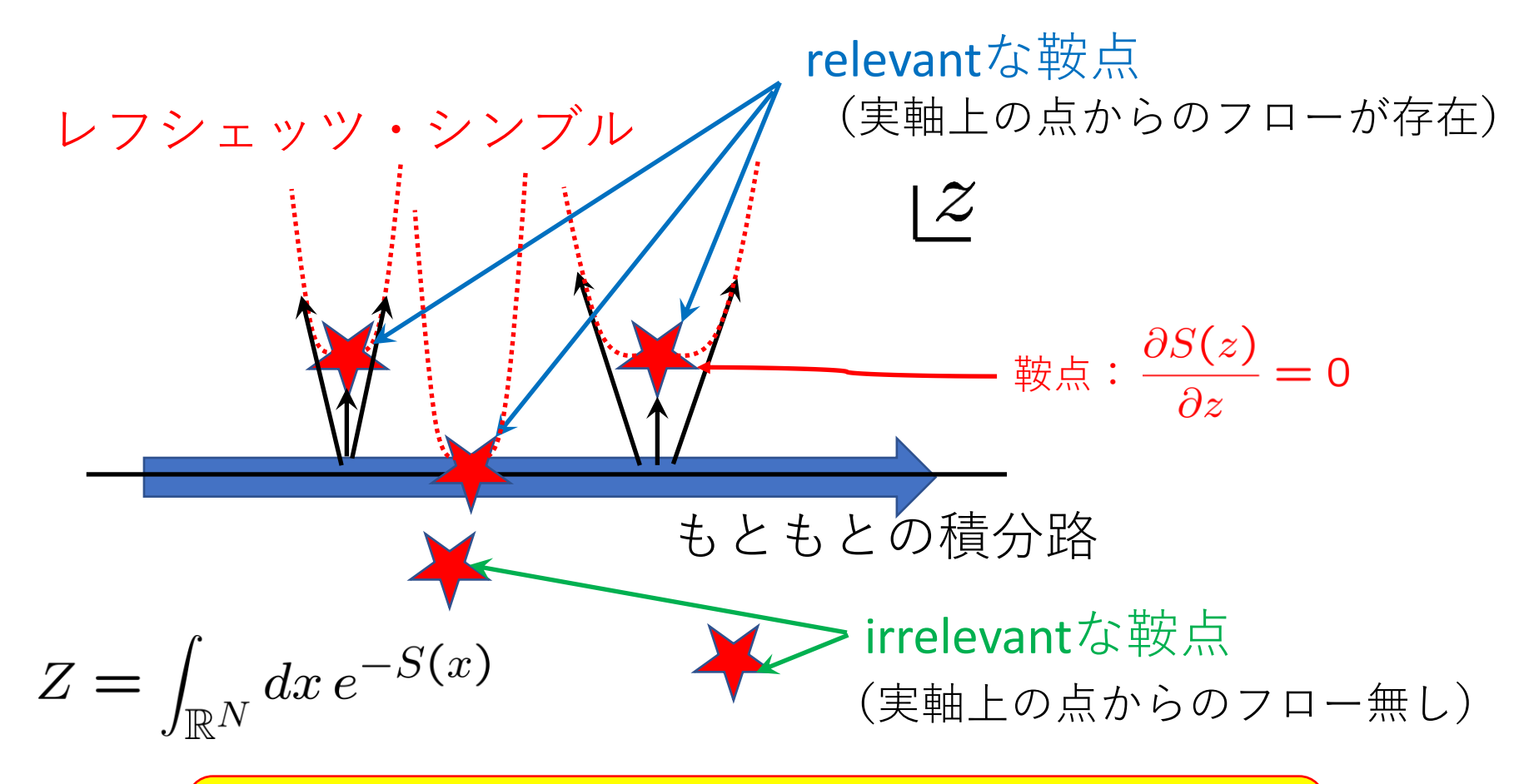


グラディエント・フローに沿って、 作用の実部は単調増加、作用の虚部は一定。



 $\tau \to \infty$ で得られる積分路(レフシェッツ・シンブル)上では、作用の虚部は一定。

符号問題は解決!



- relevantな鞍点 z^* からの寄与 $\sim e^{-S(z^*)}$
- もともとの積分路上の鞍点は必ずrelevant

このように、振動積分はwell definedにできる。 (積分路の不定性は無い)

3. 量子トンネル効果

量子トンネル効果

- 虚時間経路積分においてインスタントンとして現れる。
 - ▶ 場の理論におけるfalse vacuumの崩壊率

Coleman ('77)

➤ 一次相転移におけるbubble核形成

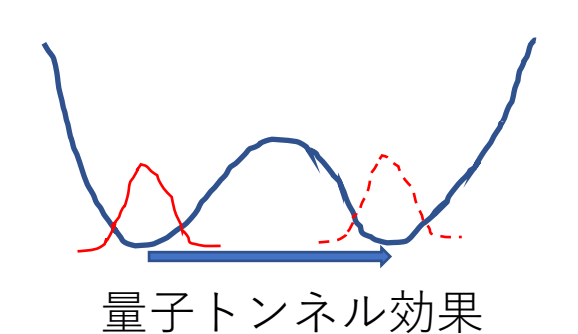
$$Z = \int \mathcal{D}x(t) \, e^{i \int dt L}$$

$$L = \left(\frac{dx}{dt}\right)^2 - (x^2 - 1)^2$$

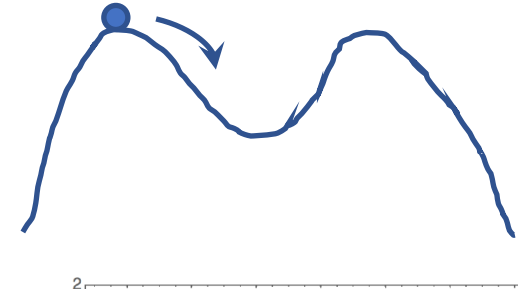


$$Z = \int \mathcal{D}x(\tau) e^{-\int d\tau \tilde{L}}$$

$$\tilde{L} = \left(\frac{dx}{d\tau}\right)^2 + (x^2 - 1)^2$$

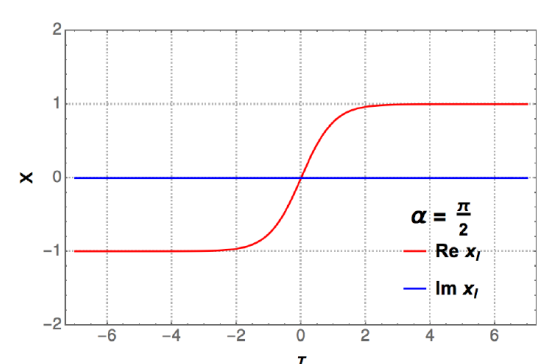


古典解 $x(\tau) = \tanh \tau$ インスタントン



トンネル振幅を半古典近似の範囲内で計算すると

$$\sim \exp(-S_0/\hbar)$$
 非摂動現象!



実時間経路積分で量子トンネル効果を 直接見たらどうなるか?

- 動機
 - ▶ 実際の時間発展には、ポテンシャル障壁を超えるような 古典的な運動も寄与 (e.g., 電弱理論におけるスファーレロン)
 - ▶ トンネル効果の過程で何が起きているのか、 また、その後の波動関数の時間発展は?
- ところが、インスタントンを素朴に解析接続して 実時間に引き戻すとsingularな複素軌道になってしまう。

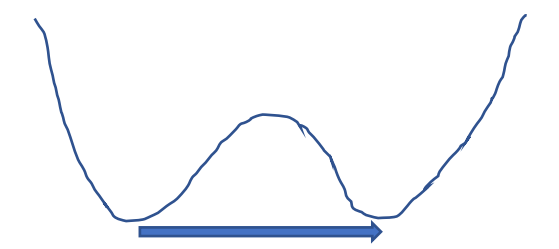
Cherman-Ünsal ('14)

こうした概念的な問題を、 具体的な実時間経路積分の数値計算で明らかにできる。

インスタントンを解析接続すると?

Cherman-Ünsal ('14)

$$L = \left(\frac{dx}{dt}\right)^2 - (x^2 - 1)^2$$



量子トンネル効果

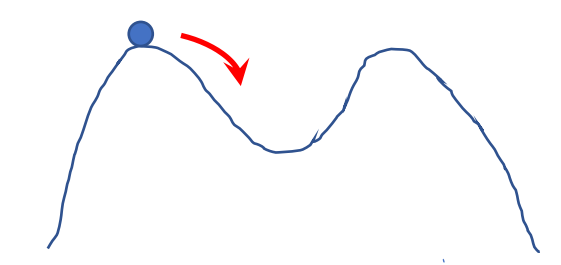
ウィック回転: $t \mapsto \tau e^{-i\alpha}$ $x(t) \mapsto x(\tau)$

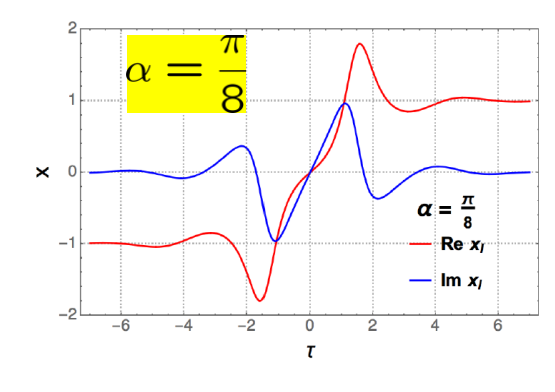
$$L = e^{2i\alpha} \left(\frac{dx}{d\tau}\right)^2 - (x^2 - 1)^2$$

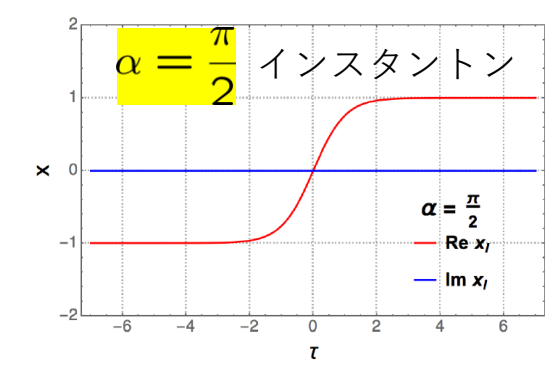
 $\alpha = \frac{\pi}{2} \Leftrightarrow \text{imag. time}$ $x(\tau) = \tanh \tau$

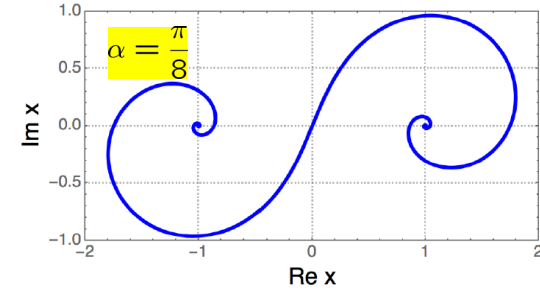
classical solution for general α $x(\tau) = \tanh\left(\tau e^{-i\left(\alpha - \frac{\pi}{2}\right)}\right)$

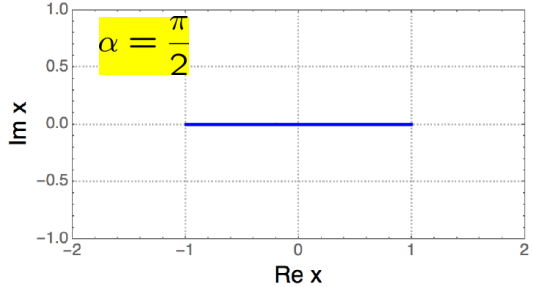
$$\tilde{L} = \left(\frac{dx}{d\tau}\right)^2 + (x^2 - 1)^2$$











インスタントンを解析接続すると?

Cherman-Ünsal ('14)

$$L = \left(\frac{dx}{dt}\right)^2 - (x^2 - 1)^2$$

$$L = \left(\frac{dx}{d\tau}\right)^2 + (x^2 - 1)^2$$

$$\frac{\alpha = 10^{-2} \times \frac{\pi}{2}}{8}$$

$$\frac{\alpha = \frac{\pi}{2}}{8}$$

$$\frac{\alpha = \frac{\pi}{2}}{1 \times 2}$$

$$\frac{\alpha = \frac{\pi}{2}}$$

$$\frac{\alpha = \frac{\pi}{2}$$

$$\frac{\alpha = \frac{\pi}{2}}$$

$$\frac{\alpha =$$

singular for $\alpha \to 0$ どのような複素軌道が量子トンネル効果を表すのか?

二重井戸型ポテンシャルにおける古典解

Koike-Tanizaki ('14)

エネルギー保存則:
$$\left(\frac{dz}{dt}\right)^2 + (z^2 - 1)^2 = p^2$$

$$z(t) = \sqrt{\frac{p^2 - 1}{2p}} \operatorname{sd}\left(\sqrt{2p} t + c, \sqrt{\frac{1 + p}{2p}}\right)$$

ヤコビ楕円関数

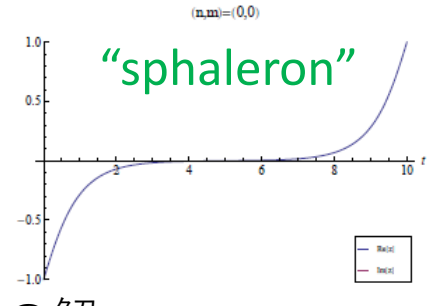


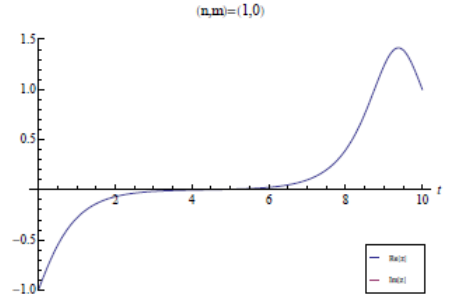
積分定数:c,p 境界条件 $\int_{z(-\frac{1}{2})=1}^{z(-\frac{1}{2})=-1}$

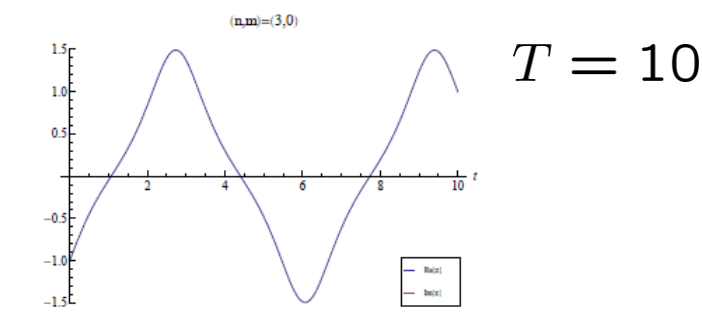
$$z\left(\frac{T}{2}\right) = 1$$

整数 (n,m)でラベルされる無限個の解が存在。

$$n = 0 \text{ or } m = 0$$

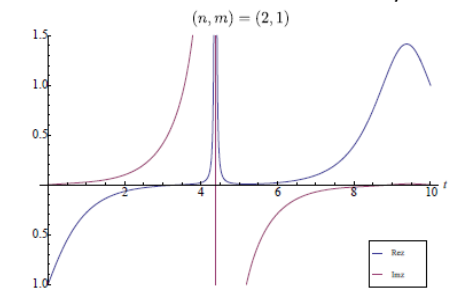






複素の解:

$$n \neq 0$$
 and $m \neq 0$



整数 n, m が大きくなるにつれて激しく振動

$$Im(S) = S_0 \text{ for } T \to \infty$$

 $\Leftrightarrow \exp(-S_0/\hbar)$ suppression



量子トンネル効果 を表している?

実時間経路積分の数値シミュレーション

$$\Psi(x_{\mathsf{f}}, t_{\mathsf{f}}) = \int \underset{x(t_{\mathsf{f}}) = x_{\mathsf{f}}}{\mathcal{D}}x(t) \, \Psi(x(t_{\mathsf{i}}), t_{\mathsf{i}}) \, e^{iS[x(t)]}$$

J.N., Katsuta Sakai, Atis Yosprakob, JHEP 09 (2023) 110, 2307.11199 [hep-th]

 \mathcal{X}

1.5

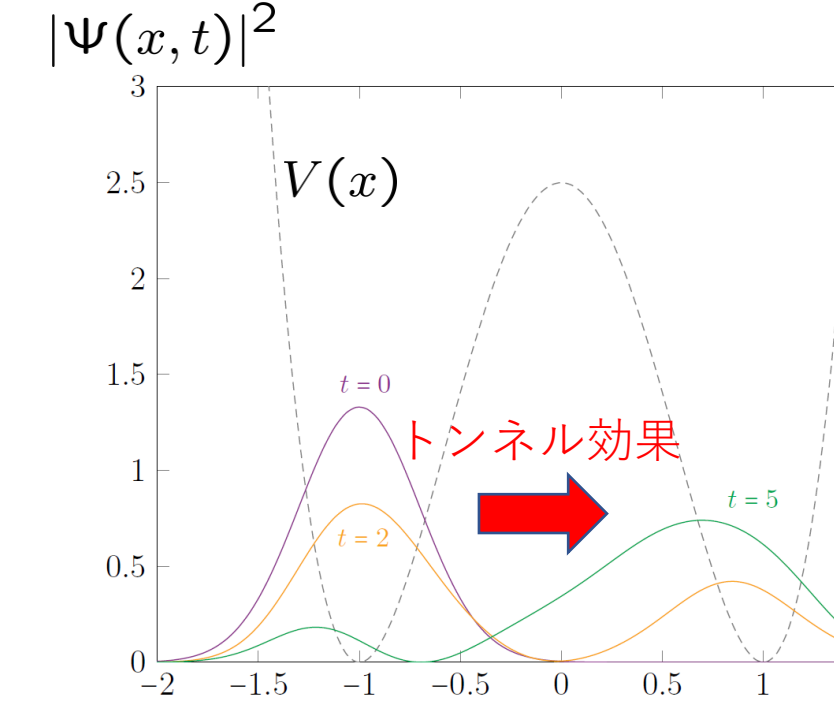
$$S[x(t)] = \int dt \left\{ \frac{1}{2} m \left(\frac{dx}{dt} \right)^2 - V(x) \right\}$$

$$V(x) = \alpha (x^2 - 1)^2 \qquad \alpha = 2.5$$

$$\Psi(x, t_i) = \exp \left\{ -\frac{1}{4\sigma^2} (x - b)^2 \right\}$$

$$\sigma = 0.3 , \quad b = -1$$

$$x_f = 1$$



時間の離散化

 $T \equiv t_{\rm f} - t_{\rm i} = 2$

$$N = 20$$

$$x_n = x(t_n)$$

 $t_n = \frac{n}{N}T$ $(n = 0, \dots, N)$

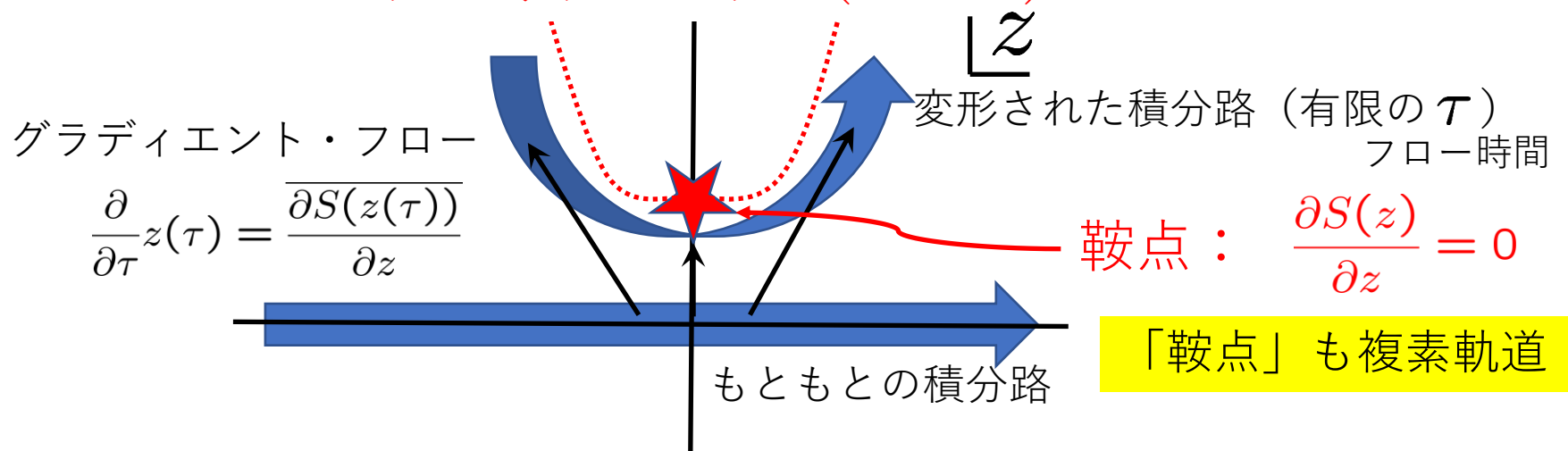
レフシェッツ・シンブル法により 無数の複素軌道が生成される

$$\Psi(x_{\mathsf{f}}, t_{\mathsf{f}}) = \int \mathcal{D}x(t) \, \Psi(x(t_{\mathsf{i}}), t_{\mathsf{i}}) \, e^{iS[x(t)]}$$

$$\Psi(x_N, t_N) = \int dx_0 \, dx_1 \cdots dx_{N-1} \Psi(x_0, t_0) \, e^{iS[x_0, x_1, \cdots, x_{N-1}]/\hbar}$$

$$Z = \int dz \, e^{-S(z)}$$

u

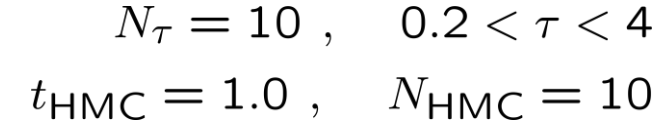


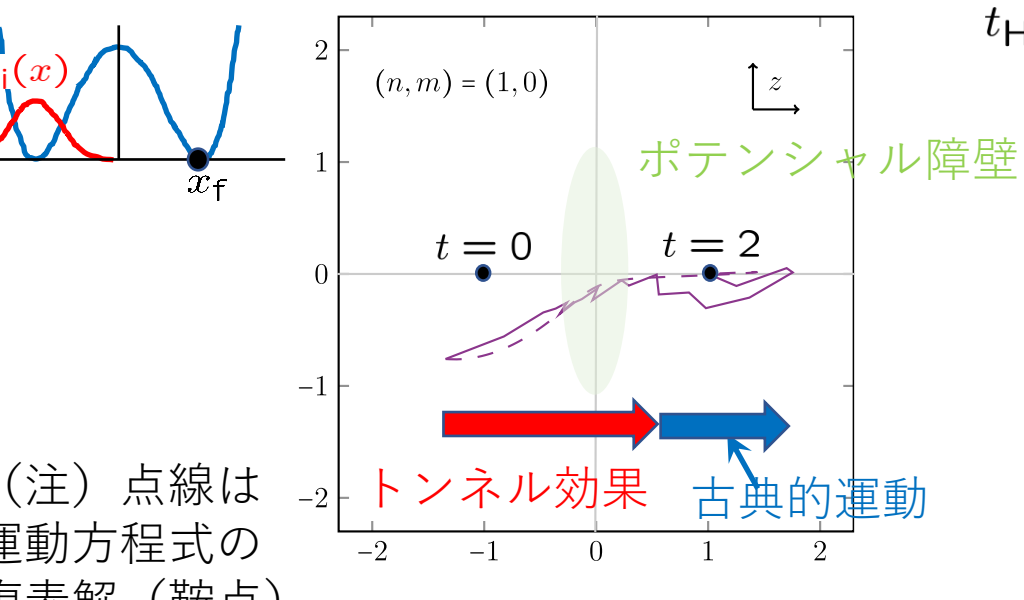
実際には、複数の鞍点まわりのシンブルの寄与を拾うため、 フロー時間 T に関しても、一定の範囲で積分。

> Fukuma, Matsumoto, PTEP 2021 (2021) 2, 023B08, arXiv: 2012.08468 [hep-lat]

レフシェッツ・シンブル法の結果

typical config z(t) at large au

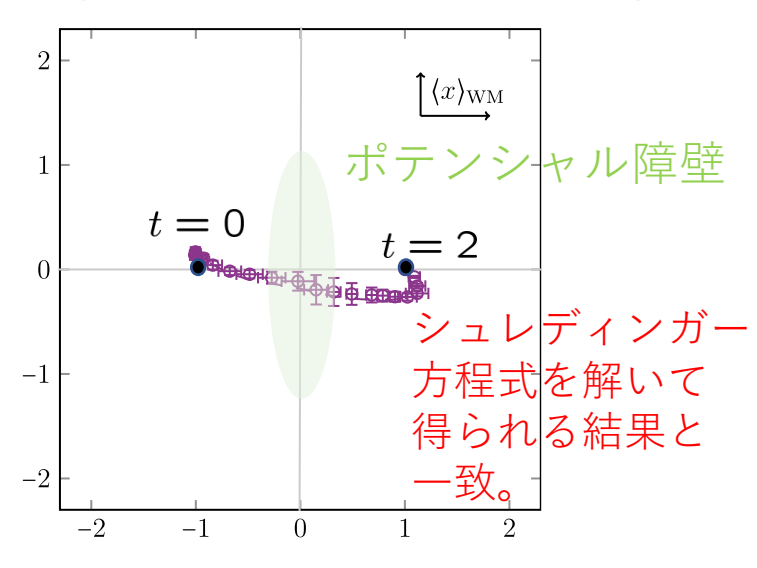




運動方程式の $\frac{1}{-2}$ $\frac{1}{-1}$ $\frac{1}{0}$ $\frac{1}{2}$ 複素解(鞍点)のうち、近いものを表す $\frac{1}{t=0}$ $\frac{1}{t=2}$ Koike-Tanizaki ('14) 但し、 $x(0) \neq -1$ $\frac{1}{2}$ $\frac{1}$

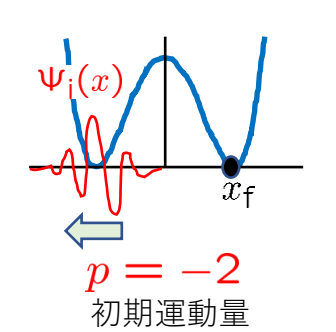
x(T) = 1

アンサンブル平均 x(t) に対する弱値に対応 $\frac{\langle x_{\mathsf{f}}|e^{-i\hat{H}(T-t)}\hat{x}e^{-i\hat{H}t}|\Psi_{\mathsf{i}}\rangle}{\langle x_{\mathsf{f}}|e^{-i\hat{H}(T-t)}e^{-i\hat{H}t}|\Psi_{\mathsf{i}}\rangle}$



量子トンネル効果は、 複素軌道によって表される

初期状態に運動量を導入する



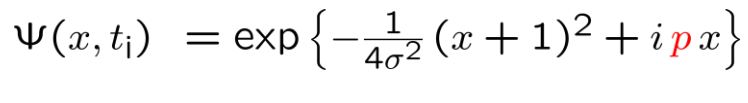
(注)点線は 運動方程式の 複素解 (鞍点) のうち、近い ものを表す

Koike-Tanizaki ('14)

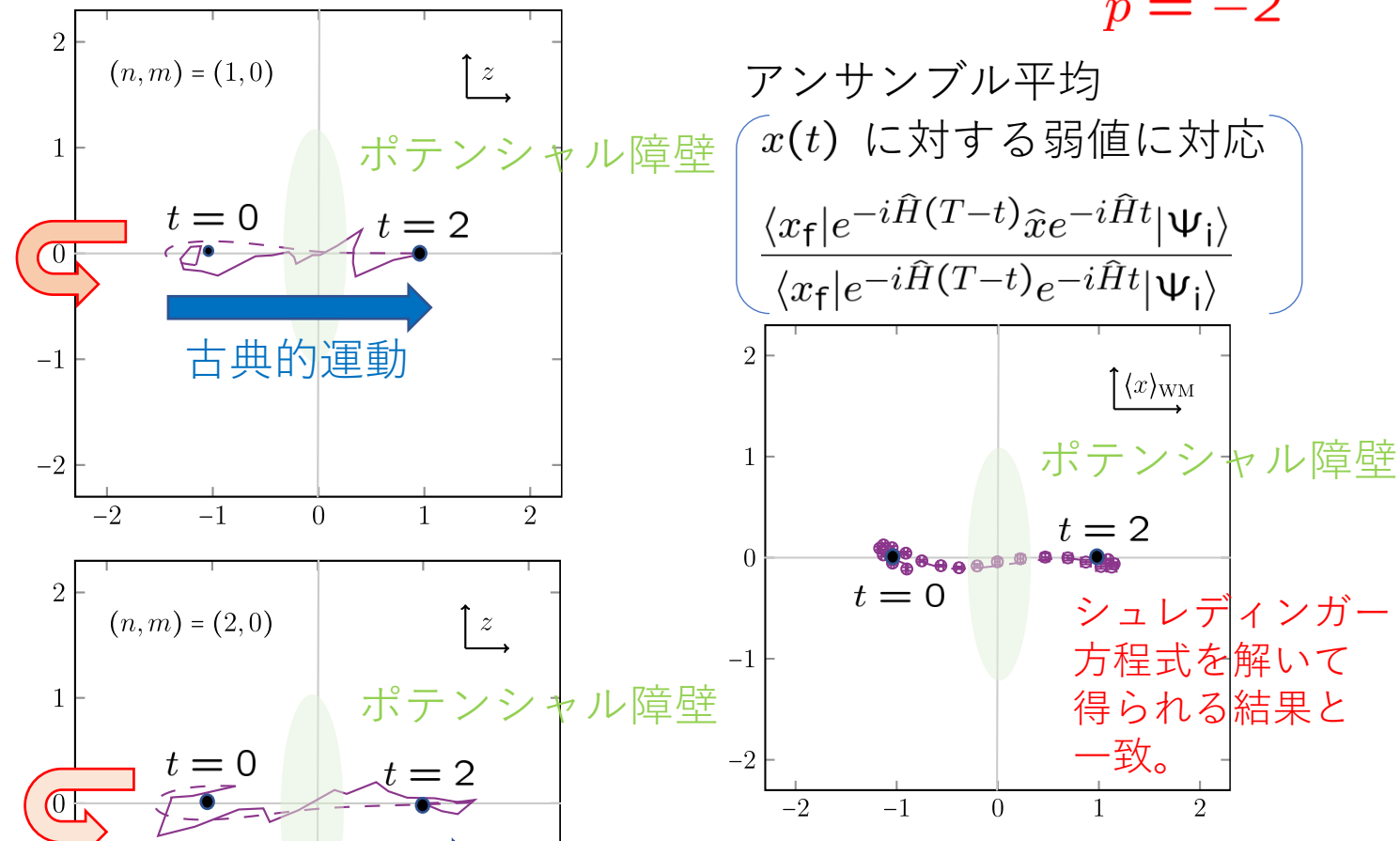
但し、 $x(0) \neq -1$ x(T) = 1

typical config z(t) at large au

古典的運動



p = -2



ポテンシャル障壁を越える 古典的運動が支配的になる → ほぼ実の軌道

量子トンネル効果に対する新しい理解

$$\Psi(x_{\mathsf{f}}, t_{\mathsf{f}}) = \int_{x(t_{\mathsf{f}})} \mathcal{D}x(t) \, \Psi(x(t_{\mathsf{i}}), t_{\mathsf{i}}) \, e^{iS[x(t)]/\hbar}$$

初期波動関数:
$$\Psi(x,t_i) = \varphi(x) e^{ipx/\hbar}$$

 $\varphi(x)$ は有限のサポート $\Delta \equiv [x_{\min}, x_{\max}]$ をもつと仮定。

 \hbar → 0 の極限では、経路積分は以下の条件を満たす x(t) が支配的になる

古典運動方程式

$$\frac{\delta S[x(t)]}{\delta x(t)} = 0$$

$$x(t_i) \in \Delta, \quad \dot{x}(t_i) = \frac{p}{m}$$

 $x(t_f) = x_f$

実のx(t)が存在する場合、 必ずrelevantな鞍点となり支配的に



古典的運動の出現

実の x(t) が存在しない場合、



弱測定を用いることによって(原理的には)観測可能

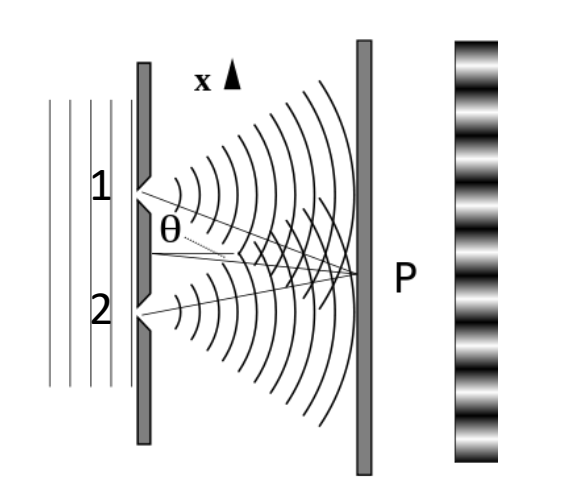
4. 量子デコヒーレンス効果

J.N., Hiromasa Watanabe, "Quantum Decoherence from Complex Saddle Points" Phys.Rev.Lett. 134 (2025) 21, 210401, arXiv: 2408.16627 [quant-ph]

J.N., Hiromasa Watanabe, "Quantum decoherence in the Caldeira-Leggett model by the real-time path integral on a computer" e-Print: 2503.20699[hep-lat], to appear in JHEP

量子デコヒーレンスとは

二重スリット実験



$$\begin{aligned} |\Psi_1(x) + \Psi_2(x)|^2 \\ &= |\Psi_1(x)|^2 + |\Psi_2(x)|^2 + 2\operatorname{Re}(\Psi_1^*(x)\Psi_2(x)) \\ &+ \operatorname{\mathbb{T}} ; \\ &+ \operatorname{\mathbb{T}} ; \end{aligned}$$

$$(|\Psi_1\rangle + |\Psi_2\rangle)|\mathcal{E}_0\rangle$$
 | $|\Psi_1\rangle|\mathcal{E}_1\rangle + |\Psi_2\rangle|\mathcal{E}_2\rangle$ 環境 量子もつれ状態

$$= 1 \approx 0$$

$$|\Psi_1(x)|^2 \frac{\langle \mathcal{E}_1 | \mathcal{E}_1 \rangle}{\langle \mathcal{E}_1 | \mathcal{E}_1 \rangle} + |\Psi_2(x)|^2 \frac{\langle \mathcal{E}_2 | \mathcal{E}_2 \rangle}{\langle \mathcal{E}_2 | \mathcal{E}_2 \rangle} + 2 \operatorname{Re}(\Psi_1^*(x) \Psi_2(x)) \frac{\langle \mathcal{E}_1 | \mathcal{E}_2 \rangle}{\langle \mathcal{E}_1 | \mathcal{E}_2 \rangle}$$

$$\approx |\Psi_1(x)|^2 + |\Psi_2(x)|^2 + |\Psi_2(x)|^2$$
干渉縞が消失(デコヒーレンス)

スリット1を通った確率とスリット2を通った確率の和



「粒子がどちらのスリットを通ったか」という問い が意味をなす (古典的な描像の出現)

対象系の縮約密度行列で見る 量子デコヒーレンス

xを通して環境 $\mathcal E$ と相互作用

"測定"

$$|\Psi\rangle = \int dx \, \psi(x) |x\rangle \, |\mathcal{E}_0\rangle$$



$$|\Psi\rangle = \int dx \, \psi(x) |x\rangle \, |\mathcal{E}_0\rangle \qquad \qquad |\Psi\rangle = \int dx \, \psi(x) |x\rangle \, |\mathcal{E}(x)\rangle$$

"観測装置"

$$\langle \mathcal{E}(x)|\mathcal{E}(y)\rangle \approx 0$$
 for $|x-y|\gg \delta$

縮約密度行列 (reduced density matrix)

$$\hat{\rho}_{\mathcal{S}} = \operatorname{tr}_{\mathcal{E}} |\Psi\rangle\langle\Psi| = \int dx dy \, \rho_{\mathcal{S}}(x,y) |x\rangle\langle y|$$

$$\rho_{\mathcal{S}}(x,y) = \psi(x)\psi^*(y)$$



$$\rho_{\mathcal{S}}(x,y) \approx |\psi(x)|^2 \delta(x-y)$$

pure state

mixed state

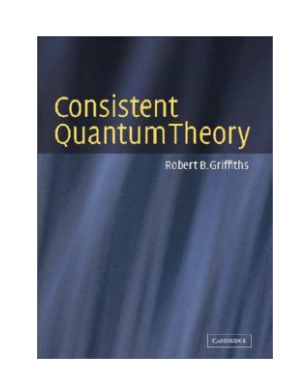
非対角成分の消失(減衰)

 $|x\rangle$ という状態が $|\psi(x)|^2$ という確率 で現れると解釈できる。

量子デコヒーレンスの研究の重要性

●量子論から古典論への転移

consistent history approach (GellMann-Hartle, Griffiths, ...) 量子系に対して"history"をconsistentに定義するには「デコヒーレンス条件」が必要。



- 量子力学の観測問題を理解する上でも重要。
 - c.f.) Kenichi Konishi,

Int.J.Mod.Phys.A 37 (2022) 17, 2250113, arXivt: 2111.14723 [quant-ph]

"Quantum fluctuations, particles and entanglement:

A discussion towards the solution of the quantum measurement"

● 量子技術(量子測定、量子計算)において、 デコヒーレンスは誤差の原因の一つ

> 如何にコントロールするかが重要。 環境のモデルをどうとるか。 環境のパラメタに対する依存性。

Caldeira-Leggett模型

Caldeira-Leggett ('83)

$$L = L_{\mathcal{S}} + L_{\mathcal{E}} + L_{\text{int}}$$

$$L_{\mathcal{S}} = \frac{1}{2} M \dot{x}(t)^{2} - \frac{1}{2} M \omega_{b}^{2} x(t)^{2} ,$$

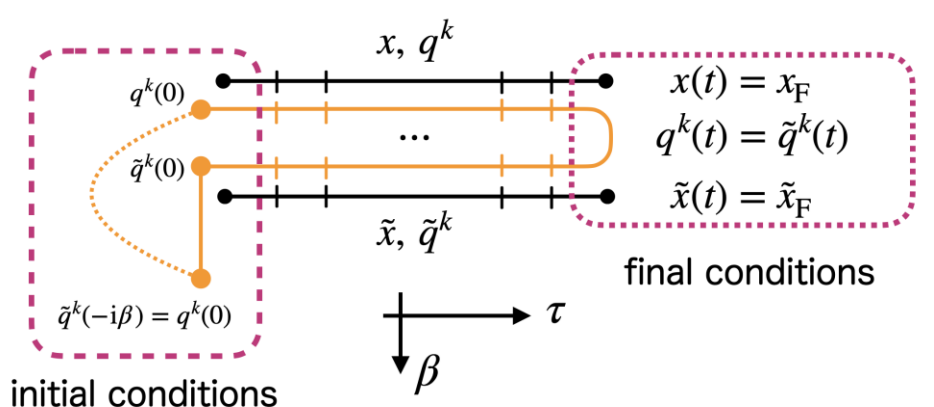
$$L_{\mathcal{E}} = \sum_{k=1}^{N_{\mathcal{E}}} \left\{ \frac{1}{2} m \dot{q}^{k}(t)^{2} - \frac{1}{2} m \omega_{k}^{2} q^{k}(t)^{2} \right\} ,$$

$$L_{\text{int}} = c x(t) \sum_{k=1}^{N_{\mathcal{E}}} q^{k}(t) ,$$

環境をtrace outして得られるreduced density matrix

$$\begin{split} \rho_{\mathcal{S}}(x_{\mathrm{F}},\tilde{x}_{\mathrm{F}};t_{\mathrm{F}}) = & \int \!\! \mathcal{D}x \mathcal{D}\tilde{x} \prod_{k=1}^{N_{\mathcal{E}}} \mathcal{D}q^k \mathcal{D}\tilde{q}^k \mathcal{D}\tilde{q}^k \mathrm{e}^{-S_{\mathrm{eff}}(x,\tilde{x},q,\tilde{q},\tilde{q}_0)} \;, \\ S_{\mathrm{eff}}(x,\tilde{x},q,\tilde{q},\tilde{q}_0) = & -\mathrm{i} \left\{ S(x,q) - S(\tilde{x},\tilde{q}) \right\} + S_0(\tilde{q}_0) \left(+ \frac{1}{4\sigma^2} (x_0^2 + \tilde{x}_0^2) \right) \end{split}$$
 Gaussian initial state assumed for the system

Environment initially in thermal equilibrium with temperature $1/\beta$



Tracing out environment \mathcal{E}

鞍点だけでデコヒーレンス効果が見える

JN, Hiromasa Watanabe, Phys.Rev.Lett. 134 (2025) 21, 210401, arXiv: 2408.16627 [quant-ph]

Introducing $X_{\mu} = \{x_i, \tilde{x}_i, q_i^k, \tilde{q}_i^k, (\tilde{q}_0^k)_j\}$

$$S_{\text{eff}}(x, \tilde{x}, q, \tilde{q}, \tilde{q}_0) = \frac{1}{2} X_{\mu} \mathcal{M}_{\mu\nu} X_{\nu} - C_{\mu} X_{\mu} + B$$
 2次式

saddle point:
$$\bar{X}_{\mu}=\left(\mathcal{M}^{-1}\right)_{\mu\nu}C_{\nu}$$
 $X_{\mu}=\bar{X}_{\mu}+Y_{\mu}$

Integrating Y_{μ} ,

$$\rho_{\mathcal{S}}(x_{\mathsf{F}}, \tilde{x}_{\mathsf{F}}; t_{\mathsf{F}}) = \frac{1}{\sqrt{\det \mathcal{M}}} e^{-\mathcal{A}} ,$$

$$\mathcal{A} = B - \frac{1}{2} C_{\mu} \left(\mathcal{M}^{-1} \right)_{\mu\nu} C_{\nu}$$

relevantな複素鞍点は uniqueに決まる。

$$cost = O(D^3)$$

$$D = 2N_t(1 + N_{\mathcal{E}}) + N_{\beta}N_{\mathcal{E}}$$

シンブルに沿った積分は 解析的に実行可能。 (normalizationを出すだけ)

$$|
ho_{\mathcal{S}}(x, \tilde{x}; t)| \simeq \exp\left\{-\frac{1}{2}\Gamma_{\mathsf{diag}}(t)\left(\frac{x+\tilde{x}}{2}\right)^2 - \frac{1}{2}C_{\mathsf{off-diag}}(t)\left(\frac{x-\tilde{x}}{2}\right)^2\right\}$$

デコヒーレンス効果

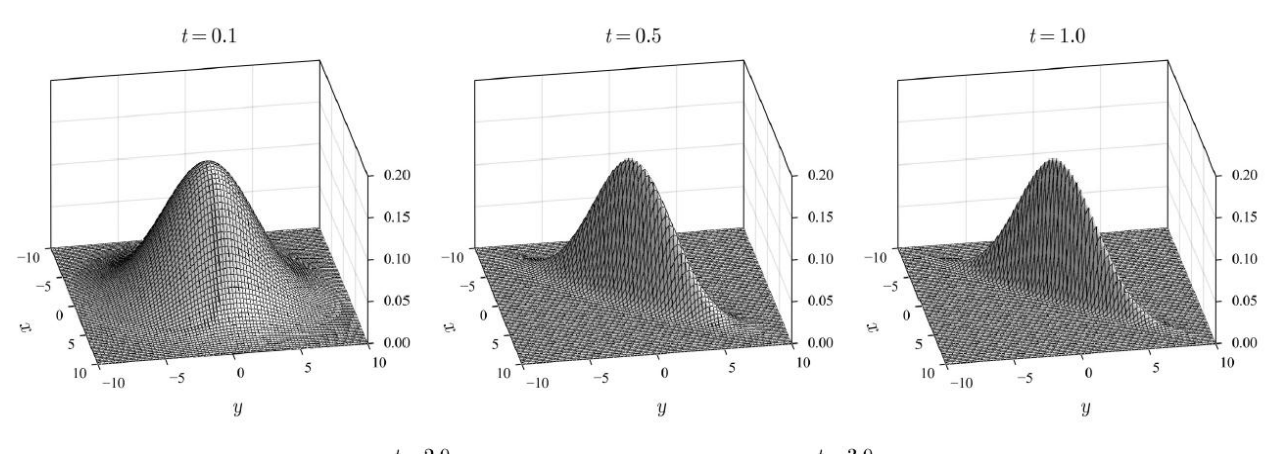
密度行列の非対角成分の減衰

 $|\rho_{\mathcal{S}}(x,y;t)|$

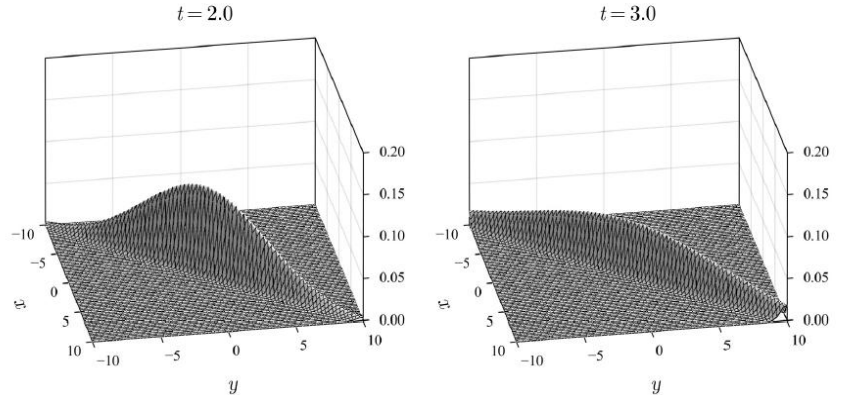
初期状態

対象系:基底状態 $\omega_{\rm r} = 0.08$

環境 : 温度 1/β のカノニカル分布



 $N_{\mathcal{E}} = 64, \ \beta = 0.05$ $\omega_{\rm Cut}=2$



環境系の振動数分布:

(Markov近似を正当化するため)

$$\rho(\omega) \propto \omega^2$$
 (Ohmic)

$$\omega \leq \omega_{\text{cut}}$$
 (cutoff)

t=0.1~1の間に、非対角成分が急速に減衰

マスター方程式からの予言

Caldeira-Leggett, Physica A 121 (1983) 587

マスター方程式 (Born近似、Markov近似を用いて導出)

$$\frac{d}{dt}\rho_{\mathcal{S}}(x,\tilde{x};t) = K(x,\tilde{x})\rho_{\mathcal{S}}(x,\tilde{x},t) , \qquad (\omega_{\mathsf{r}} \ll \omega_{\mathsf{cut}} \ll T = \beta^{-1})$$

$$K(x,\tilde{x}) = \frac{\mathsf{i}}{2M} \left(\frac{\partial^{2}}{\partial x^{2}} - \frac{\partial^{2}}{\partial \tilde{x}^{2}} \right) - \frac{\mathsf{i}}{2} M \omega_{\mathsf{r}}^{2}(x^{2} - \tilde{x}^{2}) - \gamma(x - \tilde{x}) \left(\frac{\partial}{\partial x} - \frac{\partial}{\partial \tilde{x}} \right) \left(\frac{2M\gamma}{\beta} (x - \tilde{x})^{2} \right)$$

The effect of decoherence is $\propto \frac{\gamma}{\beta}$

環境との相互作用:
$$c^2 \sim \frac{4 \, \omega_{\mathrm{cut}}^3}{3 \pi N_{\mathcal{E}}} \gamma$$

$$L_{\text{int}} = c \ x(t) \sum_{k=1}^{N_{\mathcal{E}}} q^k(t)$$

$$\rho_{\mathcal{S}}(x, \tilde{x}; t) = \rho_{\mathcal{S}}(x, \tilde{x}; 0) e^{-\frac{2M\gamma}{\beta}(x-\tilde{x})^2 t}$$

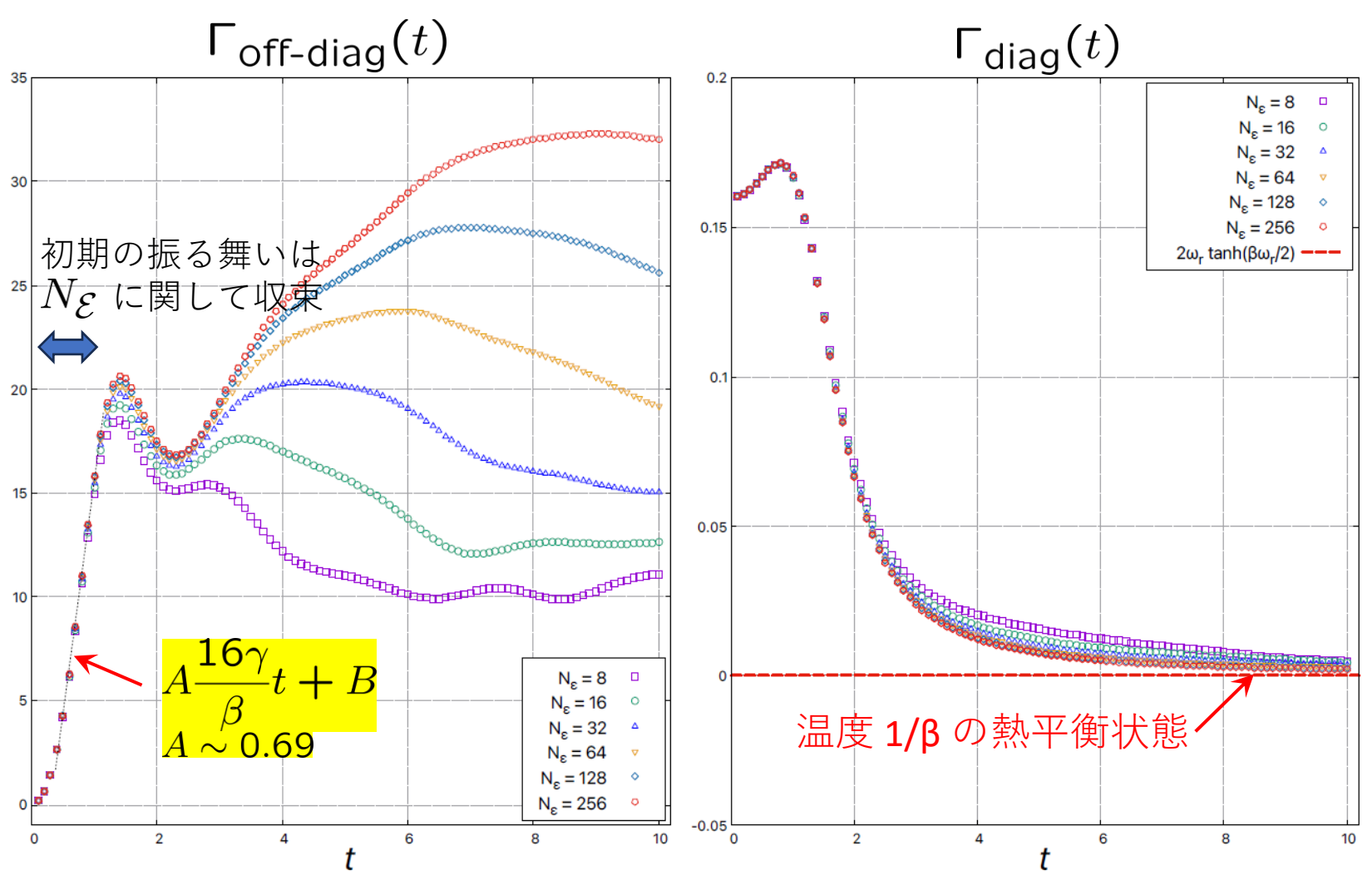
$$|\rho_{\mathcal{S}}(x,\tilde{x};t)| \simeq \exp\left\{-\frac{1}{2}\Gamma_{\mathsf{diag}}(t)\left(\frac{x+\tilde{x}}{2}\right)^2 - \frac{1}{2}\Gamma_{\mathsf{off-diag}}(t)\left(\frac{x-\tilde{x}}{2}\right)^2\right\}$$

マスター方程式からの予言:
$$\Gamma_{\text{off-diag}}(t) \sim \frac{16M\gamma}{\beta}t$$

以下、一般性を失うことなく M=m=1 とする。

$N_{\mathcal{E}} \rightarrow \infty$ に対する収束性

 $\beta = 0.05, \ \gamma = 0.1, \ \omega_{\text{cut}} = 2$

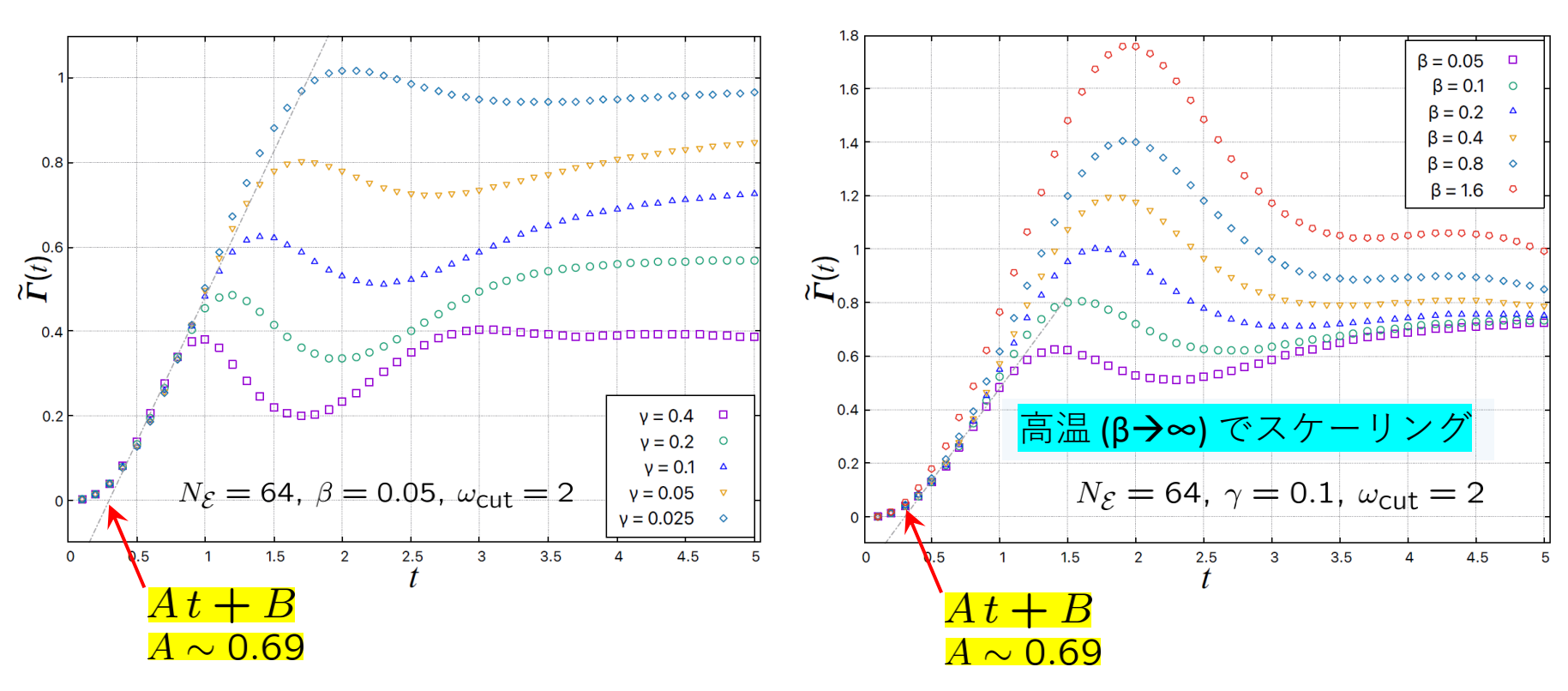


マスター方程式の予言には、 $\omega_{\rm r} \ll \omega_{\rm cut} \ll T = \beta^{-1}$ が必要。

c.f.) $\omega_{\rm r} = 0.08$ $\omega_{\rm cut} = 2$ T = 20

β, γ に関するスケーリング

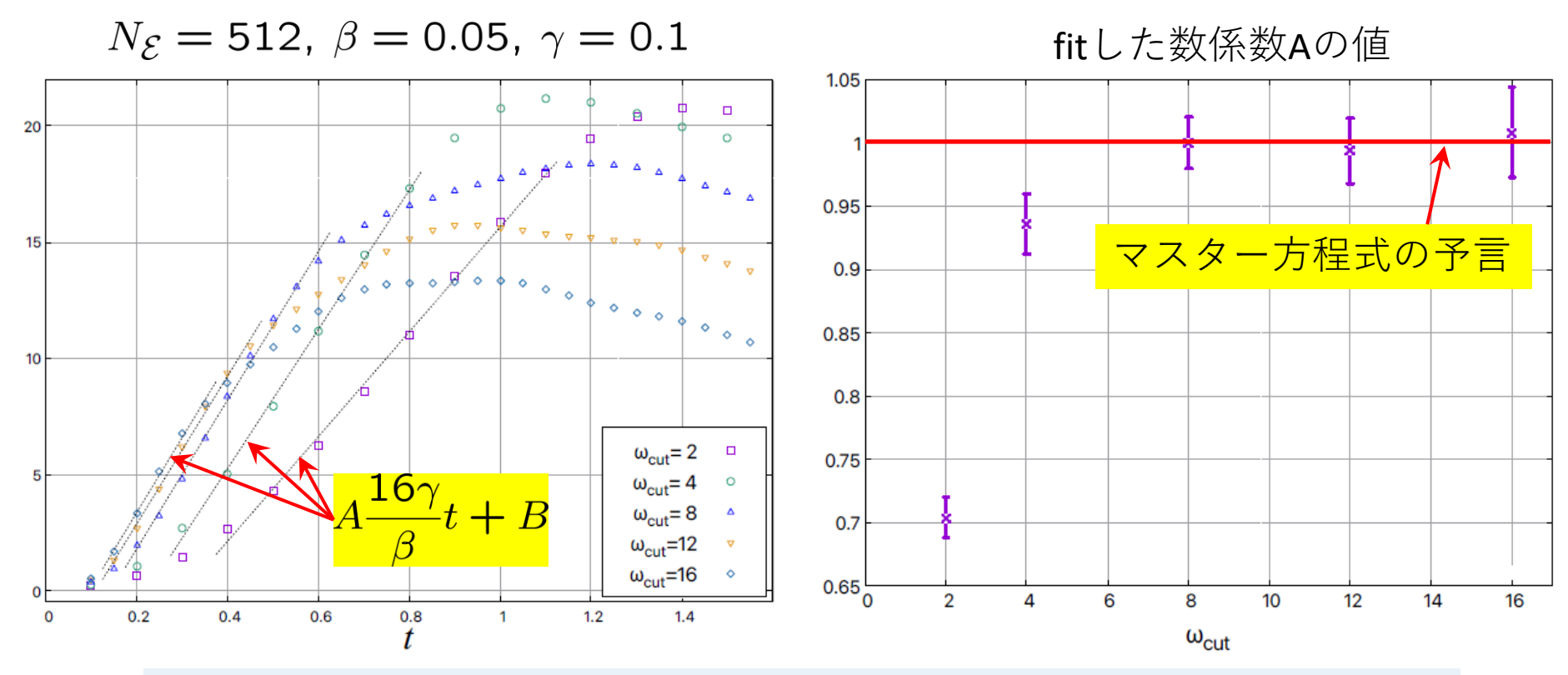
$$\tilde{\Gamma}(t) = \frac{\beta}{16\gamma} \left\{ \Gamma_{\text{off-diag}}(t) - \Gamma_{\text{off-diag}}(0) \right\}$$



傾きが γ/β に比例するという、マスター方程式の予言を 定性的に再現。(但し、数係数は30%ほど小さい。)

マスター方程式の予言との定量的な一致

J.N., Hiromasa Watanabe, arXiv: 2503.20699[hep-lat], to appear in JHEP



 ω_{cut} を大きくしていくことで、数係数も予言と一致。

マスター方程式の予言には、 $\omega_{\rm r} \ll \omega_{\rm cut} \ll T = \beta^{-1}$ が必要。

$$\omega_{\rm r} = 0.08$$

T = 20

Markov近似を正当化するのに必要

「二重スリット実験」における干渉縞の消失

対象系の初期波動関数

$$\psi_{I}(x) = \psi_{0}(x) + \psi_{1}(x)$$

$$\psi_{0}(x) = \exp(-\frac{1}{4\sigma^{2}}(x-\xi)^{2} - ipx)$$

$$\psi_{1}(x) = \exp(-\frac{1}{4\sigma^{2}}(x+\xi)^{2} + ipx)$$

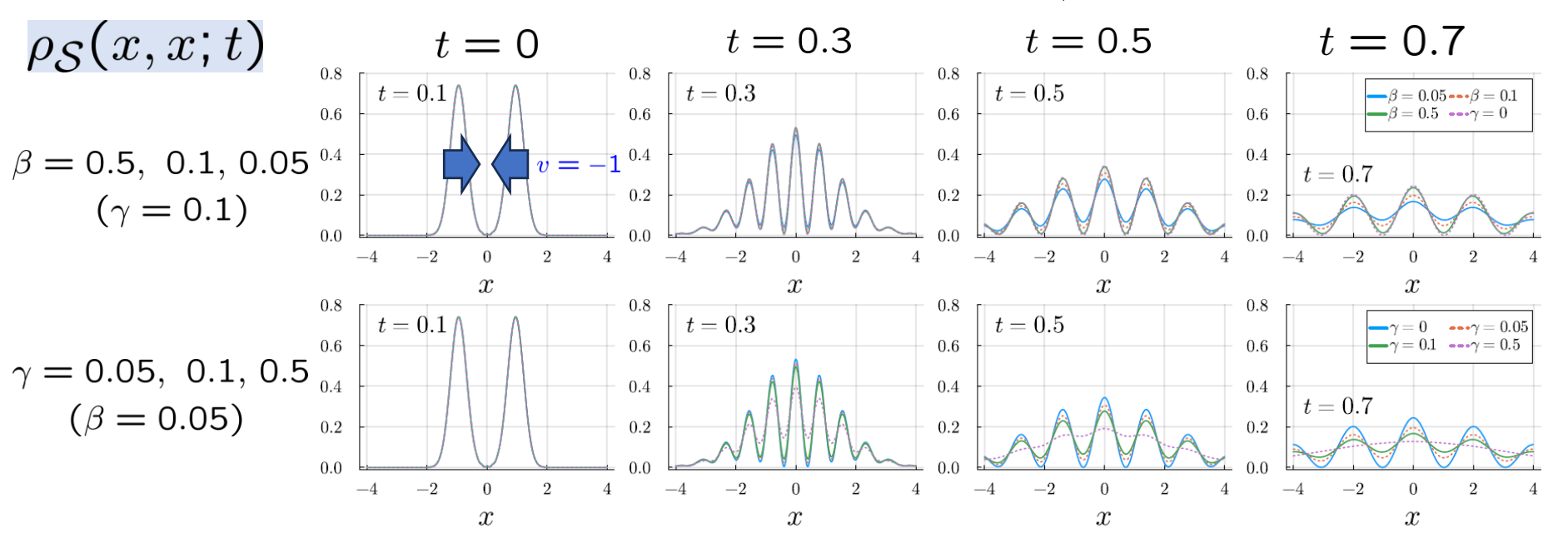
J.N., Hiromasa Watanabe, arXiv: 2503.20699[hep-lat], to appear in JHEP

$$\sigma = 0.1, \; \xi = 1, \; p = 1$$

$$(N_{\mathcal{E}} = 64, \, \omega_{\text{cut}} = 2, \, \omega_{\text{r}} = 0)$$

 γ : coupling with environment

 β : inverse temperature



量子デコヒーレンスは、実時間経路積分においては複素鞍点で捉えられる。

4. まとめと展望

まとめと展望

- 「量子系の実時間発展を経路積分で調べる」という新しい研究の方向性
 - ▶ 多自由度系の量子力学(自由度が大きいことによる計算コスト)
 - ▶ 量子重力(一般座標不変性を保つような計算) Chien-Yu Chou, J.N., JHEP 05 (2025) 142, arXiv:2407.17724 [gr-qc]
 - 超弦理論(時空がアプリオリには無く、創発するような理論)
 Chien-Yu Chou, J.N., Ashutosh Tripathi,
 PRL 134 (2025) 21, 211601, arXiv: 2501.17798 [hep-th]

などにおいて、大きなメリットがある。

- 振動する積分をwell-definedにして、具体的な計算が可能。 (ピカール・レフシェッツ理論)(レフシェッツ・シンブル法)
- 量子トンネル効果や量子デコヒーレンス効果が、 「複素鞍点」(半古典的な複素軌道)で捉えられる。
- 計算コストは自由度のベキ乗 (1~3) で増えるが、 まだまだ改良の余地があり、今後の発展が期待される。